

## 距離可移グラフと完全コードについて

茨城大・理 北村 泰一  
東京理大 佐藤 巖

### 1. 緒言

$p$  を素数,  $q = p^\alpha$  を有限体  $GF(q)$  上の長さ  $k$  のブロックの誤り訂正コードで, 特に完全コードの存在の問題はハミング (Hamming) 距離をもつベクトル空間  $V(k, q)$  における問題として考えられる. これは  $V(k, q)$  の代りにある条件を満足する特殊なグラフ  $\Gamma(k, q)$  で置き換えて考えることができる.

特に,  $q=2$  の場合には  $GF(2) = \{0, 1\}$  で,  $V(k, 2)$  は  $k$  次元の超立方体の頂点と辺とからなるグラフとして, そこにおける完全コードの問題として考えられ, ある程度の成果が得られている. (cf. [6], [2])

完全コードの問題は任意の単純グラフにおいても考えられるが, それでは余り数学的な興味はなく,  $\Gamma$  における規則性, 対称性のある場合が問題になる.

この方面の考察は Biggs ([3], [4]), Smith ([8], [11]), Hammond ([8]) などで行われている。この報告ではこれらの概要を述べ、これを多少なりとも進めようとするものである。

## 2. 距離可移グラフ

以下グラフ  $\Gamma$  は頂点が有限な単純グラフとし、このグラフの自己同型置換  $\pi$  に対し、 $\Gamma$  の元(頂点)  $x, y, u, v$  が、 $x = \pi(u), y = \pi(v)$  ならば常に

$$d(u, v) = d(x, y) \quad (1)$$

が成り立つとき、 $\Gamma$  は距離可移 (distance-transitive) グラフという。ここに  $d(x, y)$  は  $\Gamma$  の 2 頂点  $x, y$  の距離とし、 $\text{Max}_{\Gamma} (\min d(x, y))$  ( $\forall x, y \in \Gamma$ ) を  $\Gamma$  の直径と  $d$  で表わす。 $\Gamma$  を次数  $k$  の正則 (regular) グラフとし、そのガ-ス (girth) を  $g$  とすれば

$$d \geq \left\lfloor \frac{g}{2} \right\rfloor \quad (2)$$

なることはよく知られている。

いま、 $\Gamma$  を  $k$ -正則な距離可移グラフとし、これに対して  $(d+1) \times (d+1)$  の 3-主対角 (tridiagonal) 行列

$$I(\Gamma) = \begin{bmatrix} 0 & 1 & & & & \\ k & a_1 & c_2 & & & 0 \\ & b_1 & a_2 & \ddots & & \\ & & \ddots & \ddots & \ddots & \\ 0 & & & \ddots & \ddots & c_d \\ & & & & b_{d-1} & a_d \end{bmatrix} \quad (3)$$

$\Gamma$  の交行列 (intersection matrix) とする。これは  $\Gamma$  の主要部をとり、省略した形で

$$I^*(\Gamma) = \begin{Bmatrix} * & c_1 & c_2 & \cdots & c_{d-1} & c_d \\ 0 & a_1 & a_2 & \cdots & a_{d-1} & a_d \\ k & b_1 & b_2 & \cdots & b_{d-1} & * \end{Bmatrix} \quad (4)$$

で表わし、 $\Gamma$  の交配列 (intersection array) とする。ここに  $d(u, v) = i$ ,  $\Gamma_i(u) = \{w \mid d(w, u) = i\}$  とするとき

$c_i = |\Gamma_{i-1}(u) \cap \Gamma_1(v)|$ ,  $a_i = |\Gamma_i(u) \cap \Gamma_1(v)|$ ,  $b_i = |\Gamma_{i+1}(u) \cap \Gamma_1(v)|$  であり、これらは  $u, v$  の選ぶ方には無関係に定まる。

たとえば、fig.1 は 5 点の完全 (complete) グラフ  $K_5$  で、これは  $d=1$ ,  $k=4$ ,  $g=3$  の正則グラフである。

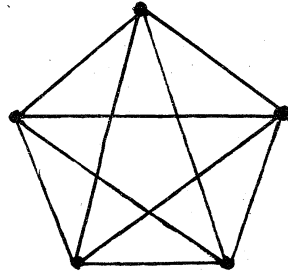


fig. 1

$$I(K_5) = \begin{Bmatrix} 0 & 1 \\ 4 & 3 \end{Bmatrix}, \quad I^*(K_5) = \begin{Bmatrix} * & 1 \\ 0 & 3 \\ 4 & * \end{Bmatrix}$$

となる。また fig.2 は所謂ペーテン (Petersen)-グラフ とおられるもので、奇 (odd) グラフ  $O_n$  の一種で  $O_3$  で表わされ、 $d=2$ ,  $k=3$ ,  $g=5$  で

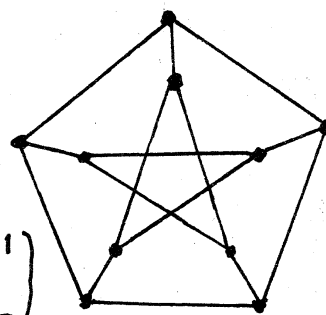


fig. 2

$$I(O_3) = \begin{Bmatrix} 0 & 1 & 0 \\ 3 & 0 & 1 \\ 0 & 2 & 2 \end{Bmatrix}, \quad I^*(O_3) = \begin{Bmatrix} * & 1 & 1 \\ 0 & 0 & 2 \\ 3 & 2 & * \end{Bmatrix}$$

となる。更に fig 3 は立方体 (Cube または Lattice) グラフ といわれるものの一種で  $Q_3$  で表わされ、 $d=3, k=3, q=4$  の正則グラフで

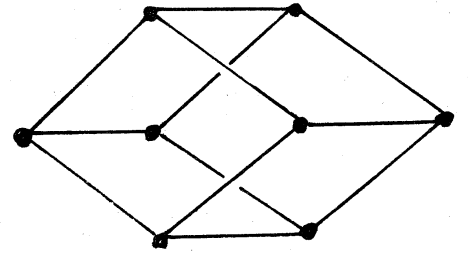


fig. 3

$$I(Q_3) = \begin{pmatrix} 0 & 1 & 0 & 0 \\ 3 & 0 & 2 & 0 \\ 0 & 2 & 0 & 3 \\ 0 & 0 & 1 & 0 \end{pmatrix}, \quad I^*(Q_3) = \begin{pmatrix} * & 1 & 2 & 3 \\ 0 & 0 & 0 & 0 \\ 3 & 2 & 1 & 0 \end{pmatrix}$$

となる。一般に正則グラフの交行列(または交配列)における  $c_i, a_i, b_i$  に対しては

$$c_i > 0, a_i \geq 0, b_i > 0; \quad c_i + a_i + b_i = k \quad (i=1, 2, \dots, d-1) \quad (5)$$

$$c_d + a_d = k$$

なる関係が成立し、更に距離可移なグラフの交行列に対しては

$$1 \leq c_2 \leq c_3 \leq \dots \leq c_d, \quad k \geq b_1 \geq b_2 \geq \dots \geq b_{d-1} \quad (6)$$

が成立することか証明される。(cf. [1], [2], (11))

(5) によれば  $a_i$  は  $b_i, c_i$  がわかれば計算できるから省略し

$$I^*(\Gamma) = \{k, b_1, \dots, b_{d-1}; 1, c_1, \dots, c_d\}$$

と書くことがある。上の例では

$$I^*(K_5) = \{4, 3; 1, 3\}, \quad I^*(O_3) = \{3, 2; 1, 1\}, \quad (7)$$

$$I(Q_3) = \{3, 2, 1; 1, 2, 3\}$$

である。

$I(\Gamma)$  は  $d+1$  個の異なる実の固有値をもち、それを

$$k = \lambda_0 > \lambda_1 > \lambda_2 > \dots > \lambda_d$$

とし、 $u_i$  を  $\lambda_i$  に対応する、 $\pm 1$  成分に 1 をもつ左固有ベクトル

$v_i$  を  $\lambda_i$  に対応する、 $\pm 1$  成分に 1 をもつ右固有ベクトル

とすれば、 $(u_0, v_0) / (u_i, v_i)$  は整数になることなどが証明される。

この他にも正則(距離可移)の隣接および交行列の固有値および固有ベクトルについては完全コードにも

関連して多くの研究がなされている (cf. [1], [2]) が、これ

らは省略して、距離可移なグラフを列挙すると

- I. 完全グラフ  $K_n$
- II. 完全二部グラフ  $K_{n,n}$
- III. 立方体 (Cube) グラフ  $Q_n$
- IV. 奇 (Odd) グラフ  $O_n$
- V. 2-奇グラフ  $2 \cdot O_n$

などがあるが、これらはどれも対称性をもつ美しく重要なものであるが相当強い制限で規定されるので割合に稀な存在である。距離可移ならばもちろん対称 (symmetric) グラフであり、頂点可移 (vertex transitive) でもあり、これらの関係は

$$\text{距離可移グラフ} \Rightarrow \text{対称グラフ} \Rightarrow \text{頂点可移グラフ}$$

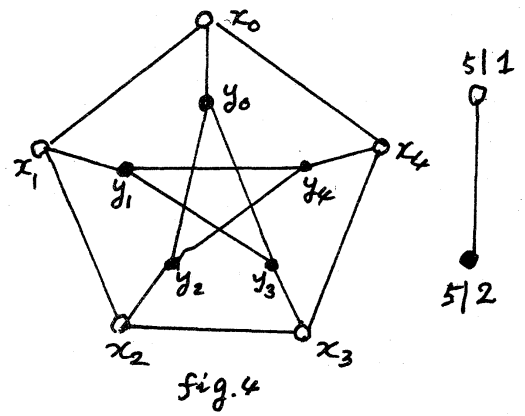
となるが、距離可移グラフを含む族としては距離正則

(distance regular) グラフ, antipodal グラフ などがあり, それらの関係も相当あかっているようであるがまだ問題は残っており, と思われる。

また, 距離可移グラフに関連して  $P(h, t)$  なる次の正則グラフの族がある. これに  $2h$  個の頂点  $x_0, x_1, \dots, x_{h-1}$ ,  $y_0, y_1, \dots, y_{h-1}$  なる頂点と,  $i \in \{0, 1, \dots, h-1\} \pmod{h}$  なるすべての  $i$  に対して  $\{x_i, y_i\}, \{x_i, x_{i+1}\}, \{y_i, y_{i+t}\}$  なる辺をもつグラフで, このグラフは  $t^2 \equiv \pm 1 \pmod{h}$  が  $(h, t) = (10, 2)$  のときは頂点可移グラフ,  $(h, t) = (4, 1), (5, 2), (8, 3), (10, 2), (10, 3), (12, 5), (24, 5)$  のとき対称グラフ,  $(h, t) = (4, 1), (5, 2), (10, 3)$  のとき頂点可移グラフである (cf. [2]).  $(h, t) = (5, 2)$  のときは「ホテルセン」グラフ (fig. 2) である。

この考えは更につぎのように拡張することができる:  
すなわち,  $h, t_1, t_2$  を自然数として  $P(h, t_1, t_2)$  として  $4h$  個の  $\{x_i\}, \{y_i\}, \{z_i\}, \{w_i\}$  ( $i=0, 1, \dots, h-1$ ) を頂点とし  $\{x_i, w_i\}, \{y_i, w_i\}, \{z_i, w_i\}, \{x_i, x_{i+1}\}, \{y_i, y_{i+t_1}\}, \{z_i, z_{i+t_2}\} \pmod{h}$  を辺とするグラフを考える。

fig. 4 は  $P(5, 2)$  で「ホテルセン」グラフに他ならない. その右の図はこれを標式的に表わしたものである。



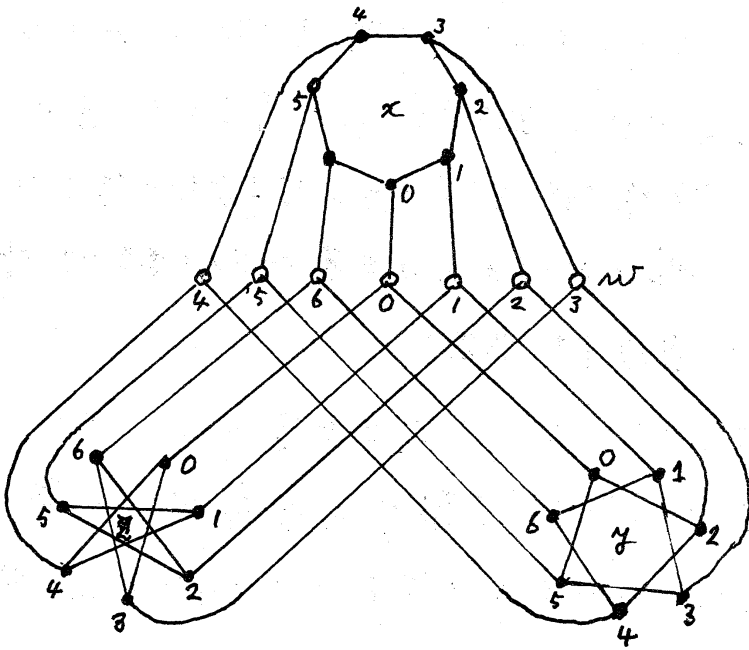


fig. 5

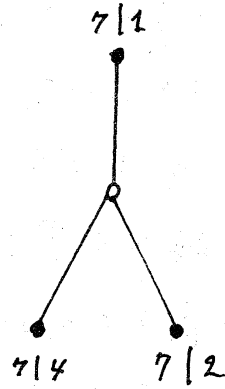


fig. 5 は  $P(7, 2, 4)$  に相当するもので Coxeter グラフ と呼ばれるもので、右に副え左図は、これを標式的に表わしたものである。同様の考えで fig. 6 に従って 3 組の 17 辺形と 2 組の 17 点を結ぶ、102 個の頂点をもつグラフを作ることかできる。fig. 4~6 が Biggs がいう 3 つの remarkable グラフで 3 次の自己同型 (automorphic) はこれだけである。(Cf. [2], [5])

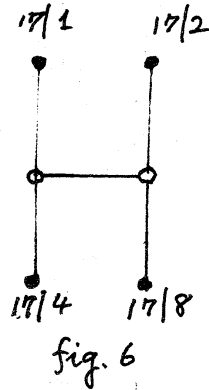


fig. 6

Biggs と Smith によれば、3 次の正則グラフで距離可移なもの 12 種、4 次のそれは 15 種であることが知られている。

また、 $P(4, 1)$  は 3 次元の立方体より成するグラフ  $Q_3$

(fig.3) であるが、これは上述のように距離可移グラフである。  
 (上の方法で  $Q_n$  ( $n \geq 4$ ) を構成することは考えられ、述べた  
 程まじまじない)。距離可移な  $n$  次元の超立方体の作るグラフ  
 $Q_n$  は 0 と 1 の  $n$  個の列 (長さ  $n$  の 2 進コード) の集合で、情報  
 理論にも密接に関連する (後述)。

尚高度の対称性を有するグラフを考察に対しては次  
 数  $k$ , 直径  $d$  以外に  $g$  (内周) も考察する必要が  
 ある。いま次数  $k$ ,  $g$  の正則グラフの頂点の個  
 数を  $|V|$  とすれば

$$|V| \geq c(k, g) \quad (8)$$

が成り立つ。ここに

$$c(k, g) = \begin{cases} 1+k+k(k-1)+\dots+k(k-1)^{\frac{1}{2}(g-1)} & (g: \text{odd}) \\ 2[1+(k-1)+(k-1)^2+\dots+(k-1)^{\frac{1}{2}(g-2)}] & (g: \text{even}) \end{cases} \quad (9)$$

なることが容易に証明される。(cf. [1], [2])

(8) において等号が成り立つ極値的な場合は (8) は重  
 要なグラフを与える。たとえば  $g=3$  のときは、任意の  $k$  に  
 対し  $c(k, 3) = 1+k$  で  $K_{1+k}$  のとき、 $g=4$  のときは  $c(k, 4) = 2k$   
 で  $K_{k,k}$  のとき達せられる。 $g=5$  のときは  $c(k, 5) = 1+k^2$   
 で  $k=3$  ならば  $|V| = c(3, 5) = 10$  となり、ハッセルゼングラフ  
 のときである。

一般に  $k$  と  $g$  とを与えたとき  $V$  の個数の最小になる



グラフを  $(k, g)$ -cage と呼んでゐる。

$(k, g)$ -cage の頂点の個数を  $|V(k, g)|$  と書けば、

$|V(2, g)| = g$  で、 $g \geq 3$  に対しては

$$|V(k, g)| \geq \begin{cases} \frac{k(k-1)\frac{1}{2}(g-1) - 2}{k-2} & (g: \text{odd}) \\ \frac{2(k-1)\frac{1}{2}g - 2}{k-2} & (g: \text{even}) \end{cases} \quad (10)$$

なることが証明される。

$(2, g)$ -cage は  $C_g$  (cycle グラフ),  $(k, 3)$ -cage は  $K_{k+1}$ ,

$(k, 4)$ -cage は  $K_{k, k}$  である。これらの場合はいふれも (10) に

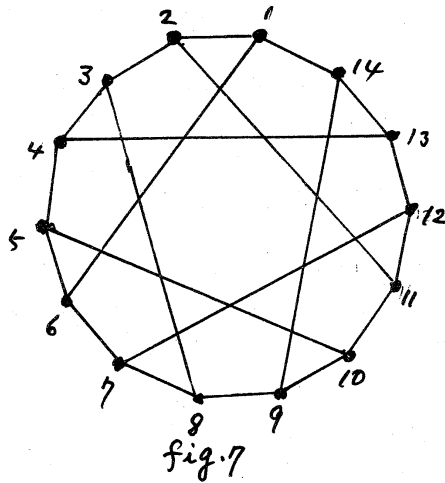
おいては等号が成り立つ。

$(3, 5)$  cage は ハンセン・グラフ

(fig. 2),  $(3, 6)$ -cage は ヒーウッド

(Heawood) グラフ (fig. 7) と

呼ばれるものである。



$g$  を与えたとき、任意の

$k (\geq 2)$  に対し  $(k, g)$ -cage

は必ず存在し、しかも

$3 \leq g \leq 8$  ならば  $(k, g)$ -cage はただ 1 つしか存在しな

いことが証明されている。

cage は一般に高度の対称性をもつグラフで、グラフ

の可移性にも関連する。(cf. [7])

### 3. コード (codes) の理論

コーディング理論では  $q (= p^k; p$  は素数) 個の異なる記号の集合を考え、それらをアルファベットと呼ぶ。これらの記号の  $k$  個の組 ( $k$ -tuples) を単語 (words),  $k$  をその長さ (length) とする。  $F = GF(q)$  とおき、 $k$ -tuple の全体  $F^k$  を  $\mathcal{R}^{(k)}$  とし、これを  $\text{mod } q$  の下で  $k$  次元ベクトル空間とみなして用いる。情報理論では通例  $q = 2$  (または、あるいは 1 の素数) とし、 $F = GF(2) = \{0, 1\}$  を用いることが多く。

$\mathcal{R}^{(k)} (= V(k, q))$  においてハミング (Hamming) 距離と呼ばれる、つきのような距離関数  $d$  を定義して位相を導入する。  $x, y$  を  $\mathcal{R}^{(k)}$  の要素とし

$$d(x, y) \stackrel{\text{def}}{=} x \text{ と } y \text{ とにおける異なる成分の個数} \quad (1)$$

これが距離の公理を満足することは距離の定義 (1) と  $\text{mod } q$  で考えていることとで容易にわかる。 ( $q = 2$  ときは  $d(x, y) = d(x - y, 0) = d(x + y, 0)$ 。この距離の概念は間違えて作られた 1 の単語の間違ひの個数を考えたとき最も自然である。

また、 $\forall x \in \mathcal{R}^{(k)}$  に対して  $w(x) = d(x, 0)$  をベクトル  $x$  の重さ (weight) と定義する。したがって

$$d(x, y) = w(x - y, 0) \pmod{q} \quad (2)$$

この距離  $d$  を用いて  $\forall x \in \mathcal{R}^{(k)}$  の  $\rho$ -近傍を

$$S(x, \rho) \triangleq \{y \in \mathcal{R}^{(k)} \mid d(x, y) \leq \rho\} \quad (\rho > 0) \quad (3)$$

で定義し、これを  $x$  を中心とする半径  $\rho$  の球と云う。

いま、 $e$  を与えられた自然数とし、2つの異なる単語が少なくとも  $2e+1$  の距離をもつような  $\mathcal{R}^{(k)}$  の部分集合  $C$  を考えよ。もし任意の  $x \in C$  が  $t$  個の成分を異にする ( $t \leq e$ )、すなわち  $t$  個の誤りをなしているならば、このような単語は他の勝手な単語よりも最初の単語に似ていると云うことができる。それゆえ  $C$  がわかっているならば  $t$  個の誤りを正すことができることになる。コーディング理論の1つの目的は、そのような  $e$ -誤り訂正コード ( $e$ -error correcting codes) の研究にある。(cf. [9], [10]) (この他に誤り検出コードがある)

$e$ -誤り訂正コード  $C$  とは つぎの性質をもつ  $\mathcal{R}^{(k)}$  の部分集合  $C$  である:

$$\forall x \in C, \forall y \in C [x \neq y \Rightarrow d(x, y) \geq 2e+1] \quad (4)$$

すなわち

$$\forall x \in C, \forall y \in C [x \neq y \Rightarrow S(x, e) \cap S(y, e) = \emptyset] \quad (4')$$

実際にはあまり重要ではないが、組合せ理論や群論で非常に興味あるものとして完全(perfect)コードがある。これは  $e$ -誤り訂正コード  $C$  が

$$\bigcup_{x \in C} S(x, e) = \mathcal{R}^{(k)} \quad (5)$$

すなわち、 $S(x, e)$  が  $\mathcal{R}^{(k)}$  の分割(partition) になっているよ

うなコード"である。距離可移なグラフをその自己同型置換で移すとき上の条件を満足することはそう期待できない。完全コードも相当まれな存在で、距離可移なグラフで上の条件を満たすものは極めて限られてくるわけである。

これに対し、 $\rho$ が $q$ のことを証明することができ:

定理1 コード $C$ 内の最小の重さ(直径)を $d$ とすれば、 $C$ のコードは $\lfloor (d-1)/2 \rfloor$ 個以上の誤りを訂正することはできない。ここに $\lfloor x \rfloor$ は $x$ の整数部分を表すガウスの記号である。

証明は背理を用い、距離函数 $d(x, y)$ の間角三角関係を用いてできる。(省略, fig 8 参照)

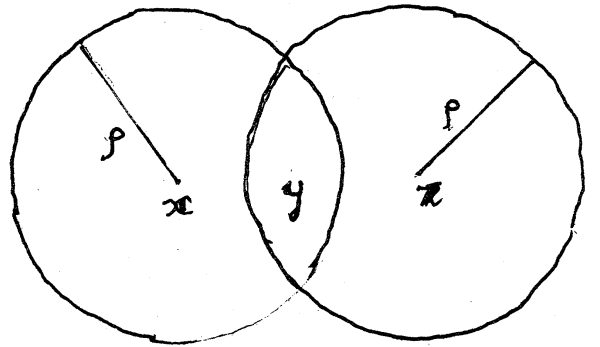


fig. 8

また、コード理論において興味のある重要な1つ

型は線型(linear)コードといわれるものがある。これは $\mathbb{F}_q^k$ の $k$ -次元線型部分空間をなすコードで、 $GF(q)$ 上の $(n, k, d)$ -コードと呼ばれる。これに対して

定理2 1つの線型コードにおいては、その最小距離はすべて0の零コード単語でないものの間の最小の重さに等しい。

これは $x \in C, y \in C$ ならば $x-y \in C$ で $d(x, y) = d(x-y, 0) = w(x-y)$ だからである。

線型コードは2つ方法で研究することができる。1つはその生成行列(generator matrix)を用いる方法であり、いま1つは線形空間であるから、その双対(dual)コード $C^\perp$ を考えることである。 $C$ が $\mathcal{R}^{(k)}$ の線型コードならば、その双対コードは

$$C^\perp \stackrel{d}{=} \{x \in \mathcal{R}^{(k)} \mid \forall y \in C [(x, y) = 0]\} \quad (6)$$

で定義され、これは $(k, k-k)$ 線型コードである。

この他にも通信(情報)理論の必要より2進コードに制限を加え改良したハミングコード、循環(cyclic)コード、リード-ミュラー(Reed-Muller)コード、対称コードなどがあり、ハミングコードは完全コードであることも証明されている(Cf. [2])が、これは本題目とは別のことである。

#### 4. 距離可移グラフにおける完全コードの存在性

距離可移グラフにおける完全コードの存在が考えられているのは立方体グラフ $Q_k$ および奇グラフ $Q_k$ における場合である。前者は情報理論で最も多く用いられる2進符号の作る $V(k, 2)$ で、これは幾何学的には $k$ -次元の超立方体の作るグラフで前述のように距離可移でありこの場合には J. H. Lint と A. Tietäväinen (この論文は未見) によって研究され、つぎのような結果が得られている。(Cf. [2])

定理 1  $Q_k$  における完全コード存在するのは,  $(k, e)$  に対して下記の 4つの場合である:

- (i)  $k=e, |C|=1$  なる自明なコード
- (ii)  $k=2e+1, |C|=2$  なる反復(repetition)コード
- (iii)  $k=2^r-1, e=1$  のハミングコード
- (iv)  $k=23, e=3$  の 2元ゴレイ(Golay)コード

そこで,  $Q_k$  以外の他の正則グラフ特に距離可移グラフの内「完全コード」をもつものを探すわけであるが, まず正則グラフの場合から考える.

$\Gamma$  を次数  $k$  の正則グラフとし,  $A=A(\Gamma)$  をその隣接行列とする. いま  $C$  をその成分が  $\Gamma$  における完全 1-コードに対応する所で 1, 他では 0 となるような列ベクトルとすれば  $AC = kC - C$  が成り立つ. こゝに  $u$  はすべての成分が 1 であるような列ベクトルである. そこで

$$W = u - (k+1)C \quad (1)$$

とおけば  $AW = Au - (k+1)AC = ku - (k+1)(u - C) = -W$  となる. これは  $-1$  が  $A$  の 1 つの固有値で, これに対応する固有ベクトルが  $W$  であることを示している.  $A$  は有理数を要素とする対称行列であるから, その最小多項式  $\mu(t)$  は  $\mathbb{Q}[t]$  に属する.

定理 2. 正則グラフ  $\Gamma$  が完全 1-コードをもつならば,

$t+1$  は環  $\mathbb{Q}[t]$  における  $A(\Gamma)$  の最小多項式  $\mu(t)$  の約数である

ことがおきた。この結果はグラフの隣接行列の最小多項式が、グラフにおける完全コードの研究に関係していることを示している。

距離可移グラフの場合は、その文行列  $I(\Gamma)$  の最小多項式を考え、 $e > 1$  なる完全  $e$ -コードの存在の必要条件が Biggs によって得られた。すなわち  $\Gamma$  を直径  $d$  の  $k$  価の距離可移グラフとすれば、 $2. 1$  で述べたように

$$I(\Gamma) = \begin{bmatrix} 0 & 1 & & & & & & & \\ k & a_1 & c_2 & & & & & & \\ & b_1 & a_2 & & & & & & \\ & & & \ddots & & & & & \\ 0 & & & & & & & & \\ & & & & & & & & c_d \\ & & & & & & & & b_{d-1} & a_d \end{bmatrix} \quad (2)$$

で、その固有ベクトル列は

$$\begin{cases} v_0(t) = 1, & v_1(t) = t \\ \text{漸化式: } c_i v_i(t) + (a_{i-1} - t) v_{i-1}(t) + b_{i-2} v_{i-2}(t) = 0 \quad (i=1, 2, \dots, d) \end{cases} \quad (3)$$

から計算することからできて、 $0 \leq i \leq d$  に対して

$$x_i(t) = v_0(t) + v_1(t) + \dots + v_i(t) \quad (4)$$

とおけば、 $\Gamma$  が完全  $e$ -コードである条件より  $I(\Gamma)$  は固有値  $e$  をもち、 $I(\Gamma)$  の最小多項式を  $\mu(t)$  とすれば、

$$\mu(t) = (t-k)\alpha_d(t) \quad (5)$$

なることを示すことができる。これらを用いて距離可移グラフの場合の定理 3 の証明がされる (cf. [3]);

定理 3. 距離可移グラフ  $\Gamma$  が "完全 e-コード" を持つならば,

$\alpha_e(t)$  は環  $\mathbb{Q}[t]$  において  $\mu(t)$  の約数である。

上において  $e=1$  とすれば  $\alpha_1(t) = \sum_{i=0}^k v_i(t) = 1+t$  となり, 正則グラフが距離可移の場合の定理 2 の結果が定理 3 の特別の場合として含まれていることを示している。

さて定理 3 において  $\Gamma$  が特に立方体グラフ  $Q_k$  ならば

$$I(Q_k) = \begin{bmatrix} 0 & 1 & & & \\ k & 0 & 2 & & 0 \\ & k-1 & 0 & 3 & & \\ & & k-2 & 0 & \ddots & \\ & & & 0 & \ddots & k \\ & & & & & 1 & 0 \end{bmatrix} \quad (6)$$

であるから (3) を用いて,  $v_i(t)$  を計算すれば  $s = \frac{1}{2}(k-t)$  とおいてこの場合

$$\alpha_e(t) = \sum_{i=0}^e (-1)^i \binom{s-1}{i} \binom{k-s}{e-i} \quad (7)$$

$$\mu(t) = R s(s-1)(s-2) \dots (s-k) \quad (8)$$

が導き出せる。(7) はいわゆる Lloyd の多項式と呼ばれるもので, Lloyd はこれを用いて,  $GF(q)$  上の長さ  $k$  の tuple の作る  $\mathcal{C}$  で, 完全 e-誤り訂正コードが存在する条件を求



また (ロイド) のとき用いた多項式は

$$P_e(t) = \sum_{i=0}^e (-1)^i \binom{k-t}{e-i} \binom{t-1}{i} (q-1)^{e-1}$$

で、これを Lloyd の多項式という場合もあるが本質的には同じものである。(この (4), (8) を用いてこの節の始めの定理 1 は証明できる (証明省略)).

さて、つきは 距離可移グラフが奇グラフ  $O_k$  の場合であるが、 $O_k$  ( $k \geq 3$ ) は  $k$  個で直径が  $k-1$  なるグラフで、

$$I^*(O_k) = \begin{Bmatrix} * & 1 & 1 & 2 & 2 & \dots & [(k-1)/2] & [k/2] \\ 0 & 0 & 0 & 0 & 0 & \dots & 0 & [(k+1)/2] \\ k & k-1 & k-1 & k-2 & k-2 & \dots & 1 & 1 & * \end{Bmatrix}$$

で、これより  $I(O_k)$  の固有値を求めると  $(-1)^{k-i} i$  ( $1 \leq i \leq k$ ), しかもって 最小多項式は

$$\mu(t) = (t-k)(t+k-1)(t-k+2) \dots (t+(-1)^k)$$

となり、更に

$$x_0(t) = 1, \quad x_1(t) = t, \quad x_2(t) = t^2 + t - (k-1),$$

$$x_3(t) = \frac{1}{2}(t+1)\{t^2 + t - (2k-2)\}, \dots$$

となるから、これらのことを用いて、つきの定理が証明される。(cf. [4]).

定理 4  $O_k$  の中に完全  $e$ -コードが存在するとはれば

$(k, e)$   $k$  に対して つきのことを示せる:

(i)  $e=1 \Rightarrow k$  は偶数

(ii)  $e=2 \Rightarrow k = 4r^2 - 2r + 1$  ( $r$ : 自然数)

$$(ii) \quad e=8 \Rightarrow k=2(4r^2-3r+1) \quad (r: \text{自然数})$$

さらに  $Q_k$  における完全  $e$ -コード については, Hamond と Smith が [8] において優れた考えを用いて

$Q_k$  が 1 つの完全  $e$ -コードを持ち,  $e$  が奇数ならば  $k$  は偶数であり, しかも

$$e \text{ が偶数 } a \text{ とき } k \geq (e^2+4e+2)/2$$

$$e \text{ が奇数 } a \text{ とき } k \geq (e^2+4e+3)/2$$

などの結果を得ている。

著者は  $K_n, K_{n,n}$  は交行列も簡単であるので, 定理 3 を適用して計算してみたが特記すべき結果は得られない。

実際距離可移グラフにおける完全コードの例は稀なもので, 2 で述べたように 3 個の距離可移グラフは 12 種あるが, その内で *trivial* でない完全コードをなすものは 2 種しかない; すなわち  $Q_3$  の中の 1-コードの場合と, 2 で述べた *fig 5*. ( $P(7, 2, 4)$  として述べた 28 個の頂点をもつグラフ) の中の 1-コードの場合に限る。この節の始めに述べた定理 1 としても  $Q_k$  の中に完全コードの少ないことを示しているが, 2 の Tietäväinen の証明においては, 前述の Lloy 多項式と, いわゆる Sphere packing condition:

$$|\Sigma_e(c)| \mid |V(Q_k)| \quad (c \in C, q = p^\alpha)$$

$$\text{すなわち} \quad 1 + n(q-1) + \dots + \binom{n}{q}(q-1)^k \mid q^k$$

を用いるが、この sphere packing condition を用いる優  
れた方法で坂内英一氏は

$e \geq 3$  に対して  $Q_k$  ( $k, q$  は任意) における

trivial でない 完全  $e$ -コードは高々有限個である

ことを証明した。これも距離可移なグラフ  $A$  中の完全  
コードの存在の稀なことを示す一つの事実であろう。

### 参考文献

- [1] Biggs, N. L.: 「Finite Groups of Automorphisms」  
1971, Cambridge
- [2] " : 「algebraic Graph Theory」  
1974, Cambridge
- [3] " : Perfect Codes in Graphs,  
Jour. Combinatr. Theory (B), 1973
- [4] " : Perfect Codes and distance-  
transitive Groups.  
Proc. Brit. Comb. Conference, 1973

- [5] Biggs and Smith D. H.: On trivalent Graphs.  
Bull. Lond. Math. Soc., 1971
- [6] Cameron P. J. and Van Lint, J. H.: Graph  
Theory Coding Theory and Block  
Design, 1975, Cambridge
- [7] Coxeter, H. S. M.: Self dual Configurations  
and Regular Graph.  
Bull. Amer. Math. Soc. 1950
- [8] Hammond P. and Smith: Perfect Codes in  
Graph  $O_k$ .  
Jour. Comb. Theory (B) 1975
- [9] 三根久:「情報理論入門」1964 朝倉書店
- [10] 関英男:「情報理論」1969 才一社
- [11] Smith D. H.: Distance-transitive Graphs,  
Proc. Brit. Comb. Confer., 1973
- [12] Van Lint, J. H.:「Coding Theory」(Lecture  
Notes in Math. 201) 1971, Springer.